

写真-1 d_0/δ の大きな領域におけるリップルの典型的な発達過程; $d_0=40.7\text{ cm}$, $f=0.24\text{ Hz}$, $\nu=0.01\text{ cm}^2/\text{s}$, $D=0.028\text{ cm}$.

リップルの発達は剝離渦によって加速され、リップルは再配置を繰り返しながら定常状態に達する(写真-1(c), (d))。 d_0/δ の大きな領域における初期波長のデータは、(4) 式を外挿して描かれた点線の近くに分布している。このことからも、リップルの初期の発達過程は定常流れによって説明できることが予想される。また、剝離渦の発生位置は近似的に次式で表わせるようだ。

$$\eta/\delta = 3.0 \dots \dots \dots \dots \dots \dots \dots \quad (5)$$

Horikawa & Watanabe⁷⁾ は、自然砂を用いて実験的に得られたリップルの定常波長を説明するために、次のような経験式を提案している。

$$\lambda/d_0 = 10.2(d_0/\delta)^{-0.58} \dots \dots \dots \dots \dots \dots \dots \quad (6)$$

(6) 式は、 $d_0/\delta > 80$ の領域におけるリップルの定常波長をかなり良く説明している。また、 $d_0/\delta > 80$ の領域における、初期波長および定常波長のデータには、 D/δ の値に依存した傾向的な分散が存在している。リップル

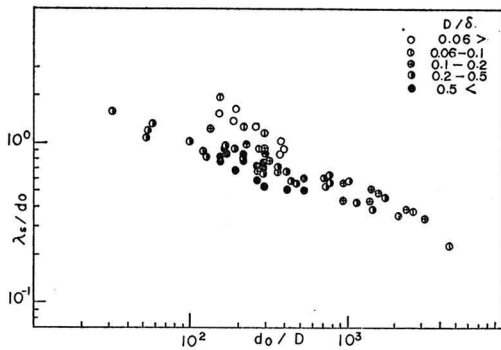


図-4 d_0/D に対してプロットされたリップルの定常波長

の定常波長 (λ_s) における粒径の影響を考慮するため、試みとして 図-4 に λ_s/d_0 が d_0/D に対してプロットされている。 d_0/D の大きな領域におけるデータの分散は改善されるけれども、逆に高粘度の流体中で得られたデータが説明できなくなっている。

4.2 リップルの定常波長

本節において、普通水を用いて得られた本実験の結果に、振動流水槽による Carstens et al.⁶⁾ のデータ、波動水槽による Kennedy & Falcon⁵⁾ と Miller & Komar⁹⁾ のデータおよび野外観測による Inman¹⁰⁾ と Miller & Komar¹²⁾ のデータを加えることによってリップルの定常波長の実用的な議論がなされている。そして、本間ら¹³⁾によるものより簡単化された粒径の影響を含む実用公式が提案されている。

実験水槽で得られた λ_s/d_0 のデータが、図-5 に d_0/D に対してプロットされている。同図には、著者によって得られた初期波長のデータもプロットされている。 d_0/D

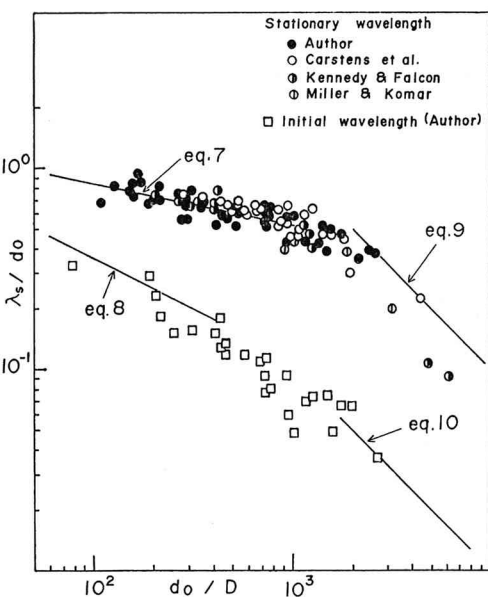


図-5 リップルの波長(室内実験データ)

